



UNIVERSIDAD NACIONAL AUTÓNOMA  
DE MÉXICO

---

FACULTAD DE CIENCIAS

Titulo

T E S I S

QUE PARA OBTENER EL TÍTULO DE:  
Licenciado en Ciencias de la Computación

PRESENTA:  
uriel ochoa

TUTOR  
adri



Ciudad Universitaria, CDMX, 2021

2     **Hoja de datos del jurado**

3     1. Datos del alumno

4         Ochoa

5         Gonzalez

6         Uriel

7         null@ciencias.unam.mx

8         Universidad Nacional Autonoma de Mexico

9         Facultad de Ciencias

10        Ciencias de la Computación

11        411

12    2. Datos del tutor

13        Dra.

14        Adriana



## <sup>17</sup> **Agradecimientos**

# 18 Índice general

19	Lista de figuras	VII
20	Lista de tablas	VIII
21	Lista de definiciones	IX
22	1 Introduccion	1
23	2 Conceptos Fundamentales	2
24	2.1 Gráficas . . . . .	2
25	2.1.1 Árboles . . . . .	4
26	2.2 Gráficas geométricas . . . . .	5
27	2.3 Notación asintótica . . . . .	8
28	3 Renderizado	11
29	Bibliografía	12

## 30 Lista de figuras

31	2.1	Una gráfica conexa $G$ . . . . .	2
32	2.3	Isomorfismo entre $G'$ y $H'$ . . . . .	3
33	2.4	Una subgráfica de $G$ . No inducida, pues la arista $(e, f)$ no aparece. . . .	3
34	2.5	Una subgráfica inducida de $G$ . . . . .	4
35	2.6	Gráfica plana, no representada en su forma plana. . . . .	4
36	2.7	Árbol generador . . . . .	5
37	2.8	Gráfica de plano . . . . .	6
38	2.9	Gráfica ortogonal . . . . .	6
39	2.10	Mallas . . . . .	7
40	2.11	Encajamiento en la malla . . . . .	7
41	2.12	Doble . . . . .	8
42	2.13	Modelo en línea recta . . . . .	8
43	2.14	Un sl-modelo . . . . .	9

## **44 Lista de tablas**

## 45 Lista de definiciones

46	2.1	Gráfica . . . . .	2
47	2.2	Adyacencia . . . . .	2
48	2.3	Recorrido . . . . .	2
49	2.4	Camino . . . . .	2
50	2.5	Isomorfismo . . . . .	2
51	2.6	Subgráfica . . . . .	3
52	2.7	Subgráfica inducida . . . . .	3
53	2.8	Gráfica conexa . . . . .	3
54	2.9	Grado de un vértice . . . . .	3
55	2.10	Gráfica plana . . . . .	4
56	2.11	Árbol . . . . .	4
57	2.12	Árbol generador . . . . .	4
58	2.13	Gráfica geométrica . . . . .	5
59	2.14	Gráfica de plano . . . . .	5
60	2.15	Representación planar . . . . .	5
61	2.16	Gráfica ortogonal . . . . .	6
62	2.17	Malla rectilínea . . . . .	6
63	2.18	Doble . . . . .	8
64	2.19	Modelo en línea recta . . . . .	8
65	2.20	Modelo local en línea recta . . . . .	8
66	2.21	Notación $\mathcal{O}$ . . . . .	9
67	2.22	Notación $\Omega$ . . . . .	9
68	2.23	Notación $\Theta$ . . . . .	10





# Introduccion

## 2.1 Gráficas

Esta sección y la siguiente (2.1.1) fueron basadas en *Discrete Mathematics: An Open Introduction*[3]

### Definición 2.1

Una **gráfica** es un par ordenado  $G = (V, E)$  que consiste de un conjunto no vacío  $V$  (llamado vértices) y un conjunto  $E$  (llamado aristas) formado por duplas de elementos de  $V$ .2.7a

### Definición 2.2

La **adyacencia** se define de forma distinta para vértices que para aristas. Dos vértices son adyacentes si están conectados por una arista. Dos aristas son adyacentes si comparten un vértice.

### Definición 2.3

Un **recorrido** es una secuencia de vértices tal que, vértices consecutivos en dicha secuencia son adyacentes en la gráfica.

### Definición 2.4

Un **camino** es un recorrido que no repite vértices (o aristas) excepto, tal vez, el primero y el último. Si un camino empieza y termina en el mismo vértice, se llama **ciclo**.

Cuando dos gráficas son básicamente la misma, pero no necesariamente iguales, son llamadas *isomorfas*. La definición de isomorfismo es como sigue:

### Definición 2.5

Un **isomorfismo** entre dos gráficas  $G_1$  y  $G_2$  es una biyección  $f : V_1 \rightarrow V_2$  entre los

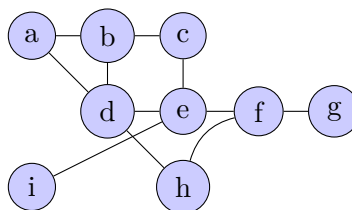
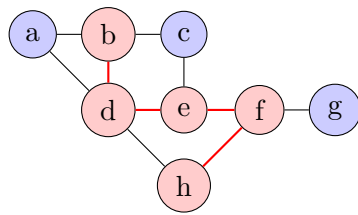
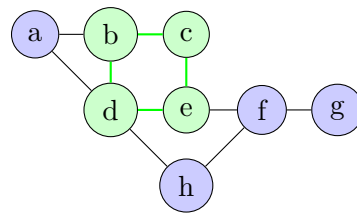


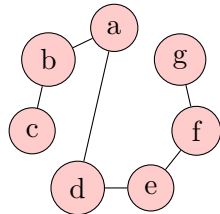
Figura 2.1 – Una gráfica conexa  $G$ .



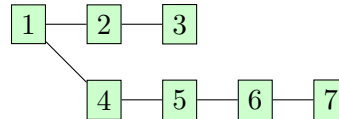
(a) Un camino (en rojo) en  $G$ .



(b) Un ciclo (en verde) en  $G$ .



(a) Gráfica  $G'$



(b) Gráfica  $H'$

**Figura 2.3** – Isomorfismo entre  $G'$  y  $H'$ .

94 vértices de las gráficas tal que  $\{a, b\}$  es una arista en  $G_1$  si, y solo si,  $\{f(a), f(b)\}$  es una  
95 arista en  $G_2$ . ⊢

96 Dos gráficas son isomorfas si existe un isomorfismo entre ellas. En ese caso escribimos  
97  $G_1 \cong G_2$

### 98 Definición 2.6

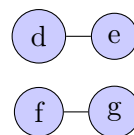
99 Decimos que  $G' = (V', E')$  es una **subgráfica** de  $G = (V, E)$ , y escribimos  $G' \subseteq G$ , si se  
100 cumple que  $V' \subseteq V$  y que  $E' \subseteq E$ . ⊢

### 101 Definición 2.7

102 Decimos que  $G' = (V', E')$  es una **subgráfica inducida** de  $G = (V, E)$  si se cumple que  
103  $V' \subseteq V$  y que cada arista en  $E$  cuyos vértices siguen estando en  $V'$  también es una arista  
104 en  $E'$ . ⊢

### 105 Definición 2.8

106 Una gráfica es **conexa** cuando podemos llegar de cualquier vértice a cualquier otro vértice  
107 siguiendo algún camino de aristas. ⊢



**Figura 2.4** – Una subgráfica de  $G$ . No inducida, pues la arista  $(e, f)$  no aparece.

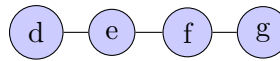


Figura 2.5 – Una subgráfica inducida de  $G$ .

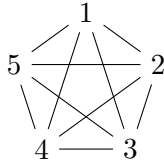


Figura 2.6 – Gráfica plana, no representada en su forma plana.

### Definición 2.9

Al número de aristas que emanan de un vértice dado le llamamos el **grado** de ese vértice. El máximo (o el mínimo) grado *de una gráfica* hace referencia al máximo (o el mínimo) grado de sus vértices.  $\dashv$

### Definición 2.10

Cuando una gráfica *puede* ser dibujada en el plano sin que ninguna de sus aristas se crucen, se dice que es **plana**.  $\dashv$

## 2.1.1 Árboles

### Definición 2.11

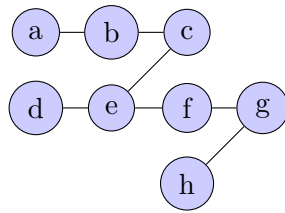
Un **árbol** es una gráfica *conexa* y que no contiene *ciclos*.  $\dashv$

Cuando designamos un nodo como *raíz*, todos los demás vértices en el árbol pueden ser identificados por su posición relativa a la raíz. Esto es debido a que existe un único camino entre cualesquiera dos vértices en un árbol.

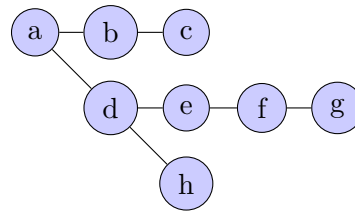
Si dos vértices son adyacentes, decimos que uno de ellos es el **padre** del otro, el cual es llamado **hijo**. De los dos, el padre es el que se encuentra más cerca de la raíz. Por lo tanto la raíz del árbol es un padre pero no es el hijo de ningún vértice.

Así mismo, el hijo de el hijo de un vértice es el **nieto** de ese vértice (convirtiéndose en **abuelo**). Generalizando, decimos que un vértice  $v$  es **descendiente** de un vértice  $u$  si  $u$  es un vértice en el camino de  $v$  a la raíz. Entonces, llamaremos a  $u$ , un **ancestro** de  $v$ .

El propósito de este lenguaje es ayudarnos a recorrer el árbol. Recorrer el árbol, visitando cada nodo en algún orden, es un paso esencial en muchos algoritmos. Cuando visitamos primero todos los vértices de una misma generación antes de visitar la siguiente, decimos que hacemos una **búsqueda a lo ancho** (en inglés BFS o *Breadth First Search*). Por otro lado, cuando primero viajamos a lo más alejado posible de la raíz, y luego retrocedemos hasta una disyunción y poder viajar hacia adelante otra vez, le llamamos **búsqueda en profundidad** (en inglés DFS o *Depth First Search*). Decimos “búsqueda” porque



(a) Un árbol generador de  $G$ .



(b) Otro árbol generador de  $G$ .

**Figura 2.7** – Árbol generador

la mayoría de las veces recorreremos el árbol tratando de encontrar vértices con cierta propiedad.

### Definición 2.12

Dada una gráfica conexa  $G$ , un **árbol generador** de  $G$  es una subgráfica de  $G$  que es un árbol y que contiene todos los vértices de  $G$ . Todas las gráficas conexas tienen árbol generador.

## 2.2 Gráficas geométricas

### Definición 2.13

Una gráfica es **geométrica** cuando es dibujada en el plano (no necesariamente es plana) utilizando segmentos (parte de una línea, definido por dos puntos), y ninguna terna de vértices yacen sobre la misma línea recta, es decir que no son *colineales*. [5]

Aunque la definición de gráfica plana es muy similar, vale la pena denotar las diferencias: la planaridad es la cualidad de una gráfica de *poder* ser dibujada sin que sus aristas se crucen, mientras que una gráfica geométrica necesariamente está representada en el plano.

Las siguientes definiciones fueron basadas en “On embedding a graph in the grid with the minimum number of bends”[6], excepto donde se indique lo contrario.

### Definición 2.14

Una **gráfica de plano**,  $G = (V, E)$  es una gráfica geométrica como la definida anteriormente salvo dos diferencias; el conjunto de aristas  $E$  es un conjunto de curvas simples que conectan dos vértices en  $V$  y, las curvas simples de  $E$  no se cruzan entre ellas, excepto, posiblemente, en los extremos. Una gráfica de plano divide al conjunto de puntos en el plano que no pertenecen a las aristas en regiones conectadas topológicamente, llamadas *caras*. La región no acotada es llamada *cara externa*. Una gráfica es planar si es isomorfa a alguna gráfica de plano.

### Definición 2.15

Le llamaremos **representación planar** al conjunto de listas ordenadas de aristas  $P(f)$ ,

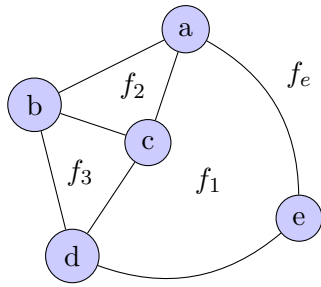


Figura 2.8 – Gráfica de plano

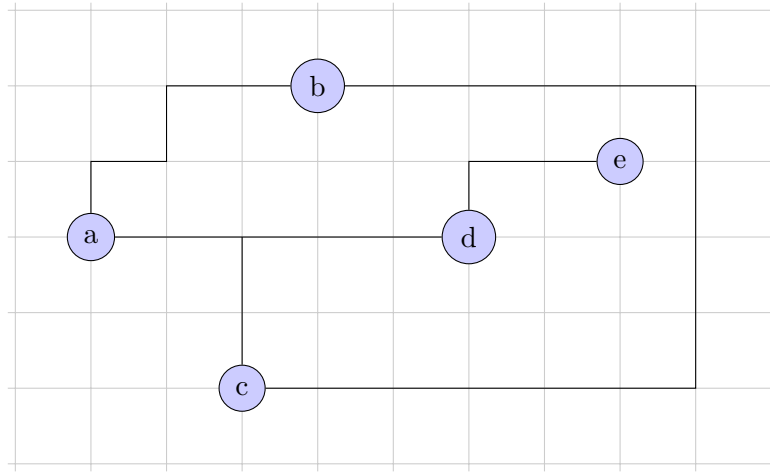


Figura 2.9 – Gráfica ortogonal

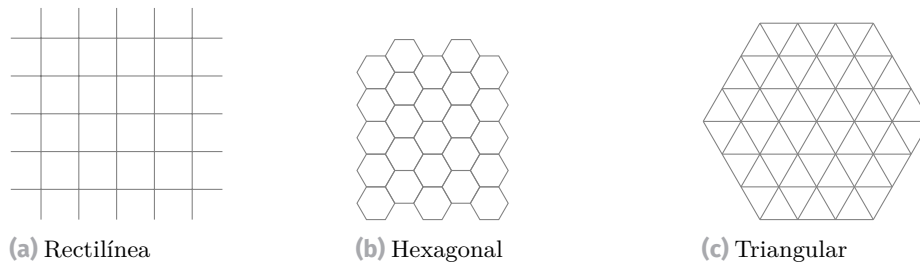
160 una por cada cara  $f$ , que describen la estructura topológica de la gráfica al listar las  
 161 aristas que aparecen en el contorno de cada cara, y especificando la cara externa.  $\dashv$

#### 162 Definición 2.16

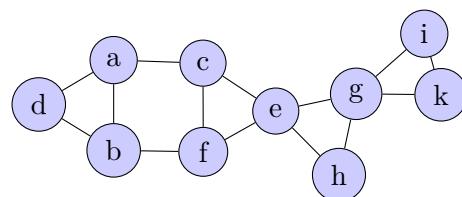
163 Una **gráfica ortogonal** es una gráfica de plano cuyas aristas son secuencias alternantes  
 164 de segmentos horizontales y verticales. La *representacion ortogonal* describe la forma de  
 165 una gráfica ortogonal, sin considerar la longitud de los segmentos.  $\dashv$

#### 166 Definición 2.17

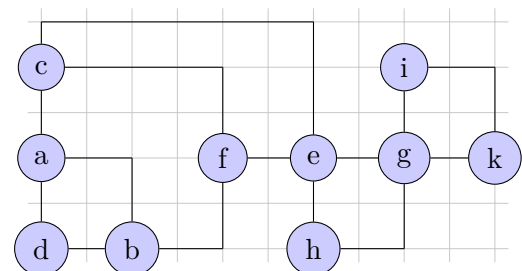
167 La **mallá rectilínea** o **mallá ortogonal** es la gráfica planar infinita cuyos vértices (o  
 168 puntos) tienen coordenadas enteras, y cuyas aristas ligán a cada par de vértices que se  
 169 encuentran a distancia unitaria. Un **encajamiento planar** en la mallá  $M = (V_M, E_M)$ ,  
 170 de una gráfica  $G = (V, E)$  es una correspondencia  $Q : G \mapsto M$  que cumple que: (1)  $Q$   
 171 mapea cada vértice en  $G$  a una posición distinta de la mallá; (2)  $Q$  mapea cada arista  $e$   
 172 de  $G$  a un camino en la mallá  $Q(e)$  cuyos extremos son mapeos de vértices ligados por  $e$ ;  
 173 (3) Los caminos  $Q(e')$  y  $Q(e'')$  correspondientes a cada par de aristas  $\{e', e''\}$  de  $G$ , no  
 174 tienen puntos en común, excepto, tal vez, los extremos.  $\dashv$



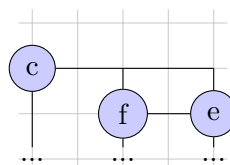
**Figura 2.10** – Mallas



**(a)** G



**(b)**  $Q(G)$



**(c)** Este mapeo no cumple la tercera condición

**Figura 2.11** – Encajamiento en la malla



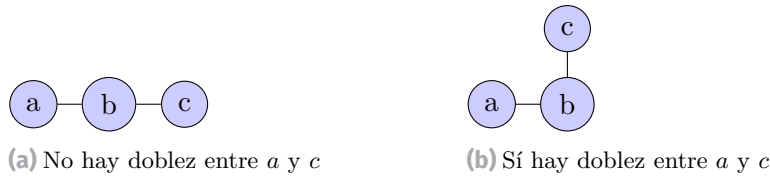


Figura 2.12 – Dobleces

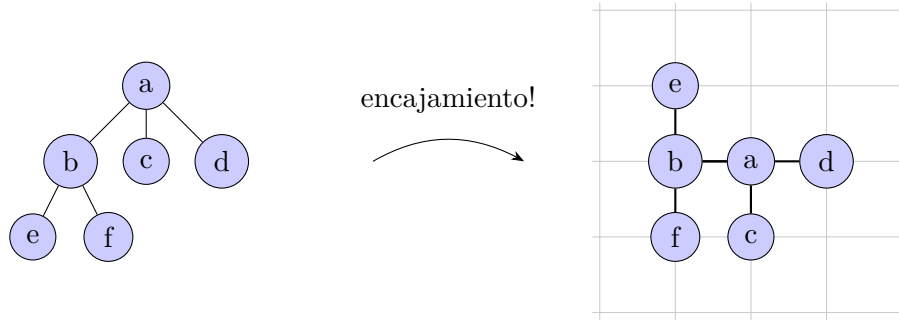


Figura 2.13 – Modelo en línea recta

175 La gráfica planar  $Q(G)$  definida por el encajamiento (o incrustamiento)  $Q$  es isomorfa  
 176 a  $G$ . Una gráfica admite ser incrustada en la malla si, y solo si, es planar y sus vértices  
 177 tienen un grado máximo menor o igual 4. Para acortar, nos referiremos a estas graficas  
 178 como  $4$ -planares.

#### 179 Definición 2.18

180 Contamos un *dobleces*[2] por cada par de aristas consecutivas en una gráfica ortogonal que  
 181 no yacen sobre la misma línea.  $\dashv$

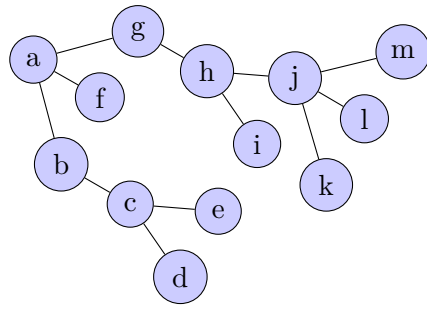
#### 182 Definición 2.19

183 Un **modelo en línea recta**[2], o **s-modelo**,<sup>1</sup> se refiere a la gráfica ortogonal que  
 184 resulta del encajamiento planar de un árbol en la malla. Como podemos ver en las figuras  
 185 correspondientes, un árbol puede ser encajado sin dobleces en las aristas que no incluyen  
 186 otro nodo del árbol, es decir que todas las aristas se mapean a caminos rectos.  $\dashv$

#### 187 Definición 2.20

188 Un **modelo local en línea recta**[4] de un árbol  $T$  consta de  $T$ , junto con una colección  
 189 de *ordenamientos locales*  $\{l_v\}_{v \in V}$ , donde  $\{l_v\}$  indica los ángulos entre las aristas incidentes  
 190 a  $v$ , sin importar rotaciones. Para nuestro caso ortogonal, todos los ángulos descritos por  
 191  $\{l_v\}$  son multiples de  $\pi/2$ .  $\dashv$

<sup>1</sup>Del inglés: *straight model*, cuya traducción propiamente sería modelo-rl



(a) El árbol

$$\{0_a, \pi/2_a, \pi_a, 0_b, \pi_b, 0_c, \pi/2_c, \pi_c, 0_d, 0_e, 0_f, 0_g, \pi_g, 0_h, \pi/2_h, \pi_h, 0_i, 0_j, \pi/2_j, \pi_j, 3\pi/2_j, 0_k, 0_l, 0_m\}$$

(b) Ordenamientos locales.

Figura 2.14 – Un sl-modelo

## 2.3 Notación asintótica

Definiciones tomadas de *Introduction to Algorithms*[1].

En algoritmos, al analizar tamaños de entrada suficientemente grandes como para hacer relevante únicamente el crecimiento del tiempo de ejecución, decimos que estamos estudiando la eficiencia **asintótica** del algoritmo. Es decir, nos interesa cómo crece el tiempo de ejecución de un algoritmo cuando el tamaño de la entrada está en el límite, creciendo sin restricción.

### Definición 2.21

Cuando solamente tenemos el **límite asintótico superior**, utilizamos notación de  $\mathcal{O}$ . Dada una función  $g(n)$ , denotamos  $\mathcal{O}(g(n))$  (pronunciada “o grande de g de n” o, algunas veces, solo “o de g de n”) al conjunto de funciones

$$\mathcal{O}(g(n)) = \{f(n) : \text{existen dos constantes positivas } c \text{ y } n_0 \text{ tal que } 0 \leq f(n) \leq cg(n) \text{ para toda } n \geq n_0\}$$

Usamos la notación  $\mathcal{O}$  para dar una cota superior de una función, dentro de un factor constante.

### Definición 2.22

Así como la notación de  $\mathcal{O}$  nos provee de un límite asintótico *por arriba* o *superior*,  $\Omega$  nos indica el **límite asintótico inferior**. Dada una función  $g(n)$ , denotamos  $\Omega(g(n))$  (pronunciada “omega grande de g de n” o, algunas veces, solo “omega de g de n”) al conjunto de funciones

$$\Omega(g(n)) = \{f(n) : \text{existen dos constantes positivas } c \text{ y } n_0 \\ \text{tal que } 0 \leq cg(n) \leq f(n) \text{ para toda } n \geq n_0\}$$

210 **Definición 2.23**

211 Por último, cuando tenemos “ensandwichada” la función, decimos que tenemos un **límite**  
 212 **asintótico justo** señalada por  $\Theta$ . Dada una función  $g(n)$ , denotamos  $\Theta(g(n))$  (pronun-  
 213 ciada “theta grande de g de n” o, algunas veces, solo “theta de g de n”) al conjunto de  
 214 funciones

$$\Theta(g(n)) = \{f(n) : \text{existen tres constantes positivas } c_1, c_2 \text{ y } n_0 \\ \text{tal que } 0 \leq c_1g(n) \leq f(n) \leq c_2g(n) \text{ para toda } n \geq n_0\}$$

215

⊢

## Renderizado

217  
216

218 El propósito final de este escrito es mostrar el algoritmo que, dado un árbol  $T$ , encuentra  
219 un encajamiento en la malla que minimiza el número máximo de veces que cualquier  
220 camino en  $T$ , se dobla. Hay bastante que desempacar de ese enunciado pero tener el  
221 propósito último resumido en una oración nos será útil para mantenernos enfocados.

222 El primer concepto que abarcaremos es el *modelo recto local* (2.20). Dentro de la  
223 definición de modelo recto local que incluye los ordenamientos locales, este concepto esta  
224 relacionado, pero no es igual, al de *sistemas de rotación*, ya que este último codifica  
225 solamente el orden en el que las aristas aparecen alrededor de un vértice  $v$ . Basado en  
226 el hecho de que un vertice puede tener distintos ordenamientos locales para el mismo  
227 conjunto de aristas adyacentes, podemos observar que entonces un mismo árbol puede  
228 tener distintos ordenamientos locales y, por tanto, múltiples *sl-modelos*, al conjunto de  
229 todos los sl-modelos de un árbol  $T$  se denota por  $\mathcal{SM}(T)$ . Dado que los *s-modelos*  
230 son la representación gráfica de un árbol en el plano, cada uno tiene asociado un  
231 sl-modelo que es la descripción de esa representación. Diremos que el s-modelo es la  
232 renderización del sl-modelo.

### 233 Lema 3.1

234 Para todo sl-modelo  $\mathcal{M}$ , existe un s-modelo que es una renderización de  $\mathcal{M}$ , además,  
235 dicho modelo puede ser encontrado en tiempo  $\mathcal{O}(n)$ .  $\dashv$

## 236 Bibliografía

- 237 1. Cormen, T. H., Leiserson, C. E., Rivest, R. L., & Stein, C. (2001). *Introduction to*  
238 *Algorithms* (2nd). The MIT Press.
- 239 2. de Luca, V. T. F., de Souza Oliveira, F., & Szwarcfiter, J. L. (2021). Minimum  
240 Number of Bends of Paths of Trees in a Grid Embedding. *Procedia Computer Science*,  
241 *195*, 118-126.
- 242 3. Levin, O. (2021). *Discrete Mathematics: An Open Introduction*.
- 243 4. Luca, V. T. F., Marín, N., Oliveira, F. S., Ramírez-Vigueras, A., Solé-Pi, O.,  
244 Szwarcfiter, J. L., & Urrutia, J. (2022). Grid straight-line embeddings of trees with  
245 a minimum number of bends per path. *Inf. Process. Lett.*, *174*(106210), 106210.
- 246 5. Pach, J. (2018). Geometric graph theory. En *Handbook of Discrete and Computational*  
247 *Geometry, Third Edition* (Tercera edición). Chapman; Hall/CRC;CRC Press.
- 248 6. Tamassia, R. (1987). On embedding a graph in the grid with the minimum number  
249 of bends. *SIAM j. comput.*, *16*(3), 421-444.